



## تأثیر مدل سازی دو جزئی پوشش پلیمری و متاپولیسیم دارو بر رهایش موضعی دارو توسط استنت های دارویی

سید مسعود واحدی<sup>۱</sup>، محمدصادق ولی پور<sup>۲\*</sup>، فیلیپو دی مونته<sup>۳</sup>

۱- کارشناسی ارشد، مهندسی مکانیک، دانشگاه سمنان، سمنان

۲- دانشیار، مهندسی مکانیک، دانشگاه سمنان، سمنان

۳- دانشیار، مهندسی مکانیک، دانشگاه لاتروینا، ایتالیا

\* سمنان، صندوق پستی 35131-19111

msvalipour@semnan.ac.ir

### چکیده

از جمله مهمترین علل ناکارآمدی استنت های شریان کرونری انسداد مجدد درون استنتی می باشد. آگاهی از نحوه رهایش داروی موجود در پلیمر پوشش داده شده بر روی استنت ها اطلاعات ارزشمندی در خصوص عملکرد این گونه پروتزها در اختیار طراحان قرار می دهد. از تئوری محیط های مختلف در مدل سازی پلیمر حاوی دارو و رگ آسیب دیده شامل لایه های مدیا و ادوتیس استفاده شده است. معادلات دیفرانسیلی با مشتقات جزئی جفت شده که توصیف کننده فارماکوکینتیک محلی داروی هپارین هستند بصورت عددی به روش حجم محدود حل شده اند. داروی موجود درون پلیمر یکبار بصورت دوفازی و یکبار بصورت تک فاز مابعد مدل سازی شد و بدین صورت اهمیت تغییر فاز ارزیابی شد. با در نظر گرفتن سه مقدار برای پارامتر مشخصه تغییر فاز شدت تأثیر آن نیز بررسی شد. علاوه بر این متاپولیسیم دارو در لایه مدیا و خروج دارو توسط مویرگ ها و واژاوزروم در مدل سازی مورد توجه قرار گرفت. نتایج تغییرات قابل توجهی در توزیع دارو در اثر وجود تغییر فاز دارو درون پلیمر را نشان می دهند. بطوری که کاهش زمان تغییر فاز دارو از جامد به مابعد مسئله خوشابندی محسوب شده و نتتها از خروج سریع دارو از پلیمر در زمان های ابتدایی جلوگیری می کند بلکه تغییرات زمانی یکنواخت تر جرم موجود در لایه مدیا و ادوتیس را به دنبال دارد. همچنین مصرف دارو توسط واژاوزروم مقنار داروی موجود در جداره رگ را با کاهش شدیدی خصوصا در ادوتیس مواجه می کند.

### اطلاعات مقاله

مقاله پژوهشی کامل

دریافت: 15 دی 1395

پذیرش: 03 اسفند 1395

ارائه در سایت: 22 اسفند 1395

کلید واژگان:

استنت های دارویی

معادله جابجایی-تفوّذ-واکنشی

انترواسکلروسیس

محیط مختلف

فارماکوکینتیک هپارین

## Effect of two species modeling of polymeric coating and drug metabolism via Drug-Eluting Stents

Seyed Masoud Vahedi<sup>1</sup>, Mohammad Sadegh Valipour<sup>1\*</sup>, Filippo de Monte<sup>2</sup>

1- Faculty of Mechanical Engineering, Semnan University, Semnan, Iran

2- Faculty of Industrial and Information Engineering and Economics, University of L'Aquila, L'Aquila, Italy

\* P.O.B. 35131-19111, Semnan, Iran, msvalipour@semnan.ac.ir

### ARTICLE INFORMATION

Original Research Paper

Received 04 January 2017

Accepted 21 February 2017

Available Online 12 March 2017

Keywords:

Drug Eluting Stents (DESs)

Advection-diffusion-reaction

Atherosclerosis

Porous media

Pharmacokinetics of Heparin

### ABSTRACT

In-stent restenosis is one of the important disadvantages of Drug Eluting Stents (DESs). Awareness of how polymer coated drug is distributed by these devices provides valuable information about its efficacy. Porous media theory has been employed in the modeling of drug polymer and the injured arterial wall is composed of media and adventitia. The established coupled PDEs describing local pharmacokinetics of heparin have been solved numerically by finite volume method. Two approaches, single phase and two phases models have been chosen for coating and the effect of local mass non-equilibrium dynamics in the coating on drug distribution has been evaluated by allocating three magnitude for solid-liquid transfer time characteristic. Moreover, the effect of lost drug by vasavasorum and microcapillaries has been considered as well as cell metabolism. The results show a significant change in drug concentration distribution in the presence of phase change occurrence. Reducing in solid-liquid transfer time characteristic is associated with drastic reduction in both drug egression from polymer and washout from adventitia and has a pleasant effect. Also, consumption of drug decreases concentration level in the wall dramatically, especially in adventitia.

است. پس از اتساع استنت توسط بالون آنژیوپلاستی، به منظور اطمینان از

ثابت ماندن استنت در مکان موردنظر و عدم امکان جابجایی آن در اثر ضربان قلب استنت با قطر بیشتری نسبت به قطر اصلی رگ متسع می شود [1]. در

۱- مقدمه  
یکی از روش های متداول، پرکاربرد و با کمترین تهاجم برای درمان گرفتگی عروق و مبارزه با بیماری انترواسکلروسیس<sup>۱</sup> (تصلب شرائین) آنژیوپلاستی<sup>۲</sup>

<sup>2</sup> Angioplasty

<sup>1</sup> Atherosclerosis

Please cite this article using:

S. M. Vahedi, M. S. Valipour, F. de Monte, Effect of two species modeling of polymeric coating and drug metabolism via Drug-Eluting Stents, *Modares Mechanical Engineering*, Vol. 17, No. 3, pp. 305-316, 2017 (in Persian)

برای ارجاع به این مقاله از عبارت ذیل استفاده نمایید:

S. M. Vahedi, M. S. Valipour, F. de Monte, Effect of two species modeling of polymeric coating and drug metabolism via Drug-Eluting Stents, *Modares Mechanical Engineering*,

شده توسط جریان خون درون مجرأ را کم اهمیت دانستند. برقی و همکاران [14] با شبیه سازی دوبعدی رهایش هپارین مشاهده کردند که پس از 24 ساعت تنها در حدود 0.002% از دارو از طریق خون درون مجرأ از بین می رود. آبراهام و همکاران [16] ترم های جابجایی و واکنشی دارو در دیواره رگ را در شبیه سازی خود در نظر گرفتند. آن ها سه عامل ویسکوزیته پلاسمای، طول درمان و فشار خون را از عوامل مهم بر میزان داروی درون دیواره رگ موثر بر شمردند. واحدی و ولی پور [17] با بررسی اهمیت تاثیر فشار خون بر توزیع غلظت، بر لزوم در نظر گرفتن ترم جابجایی در مدل سازی ریاضی مسئله تاکید کردند. در تمام این مطالعات از مدل سیال- دیواره استفاده شد. پونترلی و دی مونته [18] پدیده نفوذ را پدیده غالب دانسته و با صرف نظر از اهمیت خروج دارو توسط واژاوازوروم، متاپولیسیم دارو و حرکت سیال میان بافتی معادله نفوذ غیر دائم را به روش تحلیلی حل کردند. در این مطالعه کلیه لایه های رگ به طور کامل (اندولیوم، ایتیما، لایه الاستیک داخلی، مدیا و ادوتیس) در مدل سازی در نظر گرفته شدند. اگرچه عمق استرات در عمل مشخص نیست ولی گزارشات حاکی از آن است که جراحت وارد به بافت رگ در اثر نفوذ استرات حتی ممکن است به لایه مدیا هم کشید شود [20,19]. مک گینتی و همکاران [21] با در نظر گرفتن چهار مدل هندسی مختلف اهمیت لایه ادونتیس، وجود لخته و پوشش فوقانی روی پلیمر را مطالعه کردند. در این مطالعه به صراحت بیان شد که عدد پکلت استفاده شده توسط پونترلی و دی مونته [13] و زونینو [11] در شرایطی چون بیماری، جراحت بیشتر به رگ و فشارخون های بالا می تواند مقادیر بسیار بزرگتری را داشته باشد. به ویژه که فشارخون بالا در بیماران مبتلا به اترواسکلروزیس بسیار شایع است. همچنین نتایج نشان می دهد که وجود پوشش فوقانی کاهش قابل توجه روند آزادسازی داروی آبگیری پاکلیتاکسل را به دنبال دارد. همچنین افزایش ضخامت و کاهش ضربی نفوذ پلیمر سرعت آزادسازی را کاهش می دهد. واحدی و همکاران [20] در مطالعه خود علاوه بر بررسی عمق جراحت، اهمیت جریان پلاسمای در شرایط طبیعی کارکرد قلب در حالت ضربانی و همچنین اهمیت وجود پوشش فوقانی (به عنوان یکی از مشخصه های طراحی پلیمر) را مورد ارزیابی قرار دادند. آن ها اهمیت عمق نفوذ را در درجه اول قرار دادند. در این پژوهش مشاهده شد که ترم جابجایی از اهمیت قابل توجهی برخوردار است و وجود پوشش فوقانی برای داروی آبدوستی چون هپارین از اهمیت چندانی برخوردار نیست. با مشاهده تخلیه بسیار سریع و انفجاری هپارین در زمان های اولیه فرآیند، واحدی و ولی پور [22] قرار دادن یک پوشش فوقانی اضافی در میان پلیمر را پیشنهاد کردند. نتایج از تغییر انداز در توزیع غلظت هپارین درون بافت حکایت داشت. بنابراین در طراحی هیدروژل حاوی هپارین استفاده از پوشش فوقانی چندان تاثیر گذار نخواهد بود. لازم به ذکر است که در کلیه این مطالعات دارو بصورت محضنی از مایع مدل سازی شده است. از آن جا که لایه نشانی دارو بر روی استنت در فاز جامد صورت می گیرد. لازم است تا تاثیر تغییر فاز دارو از جامد به مایع بررسی شود. پونترلی و همکاران [23] با مطالعه تغییر فاز دارو درون پلیمر شبیه سازی هپارین را به مدت 115 ساعت انجام دادند. آن کلیه لایه های رگ را در نظر گرفتند و با فرضیات بسیاری همچون صرف نظر از حرکت پلاسمای و مصرف دارو، معادله نفوذ غیر دائم را حل کردند. استوکیومتری واکنش در نظر گرفته شده در این مطالعه دو مرحله ای است. چنین فرضی در مطالعات دیگری نیز در نظر گرفته شده است [24,25]. شازلی و همکاران [26] و فردوس و همکاران [27] استوکیومتری پنج مرحله ای واکنش در

این هیج فشار زیادی به دیواره رگ وارد آمده که احتمال آسیب دیدگی و پدیدار شدن عوامل متعددی از جمله عوامل انقادی را به دنبال دارد [1]. علاوه بر آن مهاجرت سلول های عضله صاف از لایه مدیا به اینتیما و ایجاد لخته در اطراف استنت مجرای عور خون از درون شریان کرونری را مسدود می کنند. ناتوانی در کنترل قطعی این مسئله و احتمال انسداد دویاره پس از کاشت استنت بزرگترین نگرانی استفاده از استنت می باشد [2]. به منظور مبارزه با این عوامل از پلیمر به عنوان یکی از سامانه های رهایش داروی موضعی برای بارگذاری دارو استفاده می شود که تا به امروز کارآمدترین روش به شمار می رود [3]. استنت های دارویی عملکرد قابل قبولی در کاهش انسداد مجدد درون استنتی از خود نشان می دهند. در این پروتکلا از داروهای مختلفی استفاده می شود که با طراحی کارآمد قادر هستند بصورت کنترل شده ای عمل رهایش را انجام دهند. در یک دسته بندی بر اساس ماهیت، این داروهای به دو دسته آبدوست و آبگیری دسته بندی می شوند. داروهای قبل از استفاده و ظایی چون تضعیف عوامل انقادی، مبارزه با سیستم ایمنی و تکثیر سلولی و خواص ضد تورمی را دارا می باشند [4]. هپارین و دکسران از جمله داروهای آبدوستی هستند که با ضعیف و غیرفعال کردن عوامل انقادی، ایجاد لخته خون را با چالش مواجه کرده و از شکل گیری هاپرپلازی نئواینتیما جلوگیری می کنند [6]. موققت آمیز بودن این پروتکلا و طراحی هرچه بهتر آن ها نیازمند اطلاع دقیق از فارماکوکینتیک دارو است. بررسی عوامل موثر بر فرآیند و میزان تاثیر هر کدام به گونه ای که بتوان آن ها را به ترتیب اهمیت رده بندی کرد در طراحی بسیار مهم خواهد بود [7]. لازمه این امر آگاهی از توزیع غلظت و تغییرات جرم دارو در لایه های مختلف رگ و هیدروژل حاوی دارو است. تعداد کم مطالعات آزمایشگاهی و اکتفا کردن به مدل های جانوری نشان از دشوار و گاهی غیرممکن بودن دست یابی به چنین اطلاعاتی دارد [8]. بنابراین شبیه سازی های نرم افزاری می توانند به خوبی خلا وجود آمده را پوشش دهند.

شبیه سازی دیواره رگ را می توان به سه دسته تقسیم کرد. ساده ترین روش بدون دیواره<sup>1</sup> است. در این روش ضخامت رگ شبیه سازی نمی شود و وجود آن تنها توسط شرایط مزی به مسئله معرفی می شود. روش دوم روش سیال- دیواره<sup>2</sup> است. در این روش کلیه لایه های رگ بصورت یک لایه محیط متخلخل همگن شبیه سازی می شوند. در این روش از ساختار غیرهمنگ رگ صرف نظر می شود. روش سوم موسوم به دیواره چند لایه<sup>3</sup> کامل ترین روش می باشد که لایه های رگ را با بیشترین جزییات در نظر می گیرد [10,9]. از جمله اولین شبیه سازی های فرآیند رهایش دارو از استنت های دارویی می توان به مطالعه زونینو [11] اشاره کرد. زونینو با حل معادله دارسی و معادله جابجایی- نفوذ در دیواره رگ توانست توزیع غلظت هپارین و پاکلیتاکسل را در مدت 6 ساعت شبیه سازی کند. در این مطالعه تفاوت قابل توجهی بین داروهای آبدوست و آبگیری مشاهده شد. پونترلی و دی مونته [12] با برقراری آنالوژی میان انتقال حرارت و انتقال جرم، توزیع غلظت و تغییرات جرم دارو نسبت به زمان را به دست آوردند. با اشاره به ناچیز بودن جریان پلاسمای عبوری از عرض رگ و واکنش دارو، نفوذ غیر دائم را به روش تحلیلی حل کردند. پونترلی و دی مونته [13] به طور جداگانه اثر فیلتراسیون پلاسمای واکنش دارو را بررسی کردند. برقی و همکاران [14]، مک گینتی و همکاران [8] و ژو و همکاران [15] در مطالعات خود میزان داروی شسته

<sup>1</sup> Wall-free<sup>2</sup> Lumen-wall<sup>3</sup> Multi-layered structure

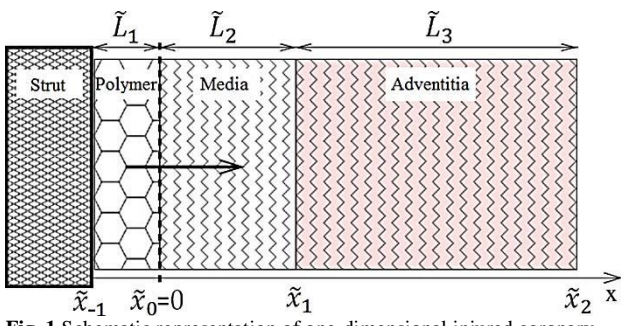


Fig. 1 Schematic representation of one-dimensional injured coronary artery [20]

شکل ۱ طرحواره یک بعدی شریان کرونری آسیب دیده [20]

- سطح استرات غیر تراوا است، به طوری که پلاسمما از آن عبور نمی کند.
- جریان پلاسما فقط در لایه مدیا وجود دارد.
- نوسانات فشار خون درون مجرأ به صورت سینوسی مدل سازی می شوند.
- از دستگاه مختصات کارتزین یک بعدی برای دامنه محاسباتی استفاده شده.
- جداره رگ آسیب دیده به صورت دو لایه متخلخل همگن مدل می شود.
- پوشش حاوی دارو به صورت دوفازی مدل سازی می شود.
- واکنش دارو در لایه های مدیا و واژاوزروم به صورت ترم خطی در نظر گرفته شده است.
- پوشش فوقانی در مدل سازی حضور ندارد.
- خواص هیدرولیکی رگ در کلیه لایه ها ثابت در نظر گرفته می شود.

### 1-3- معادلات حاکم

معادلات بقای جرم در سه لایه پلیمر، مدیا و ادونتیس و معادله نفوذ فشار در لایه مدیا براساس مدل مفهومی و فرضیات ارایه شده باید حل شوند. معادلات (1)، (2) و (3) معرف تغییر فاز دارو در پلیمر می باشند. از آن جا که پلیمر یکبار بصورت دوفازی و یکبار بصورت تک فاز در نظر گرفته می شود. در حالت دوفازی با توجه به در نظر گرفتن تبدیل فاز در پلیمر دو معادله (1) و (2) یکی برای فاز جامد و یکی برای فاز مایع که به صورت جفت شده می باشند بطور همزمان حل می شوند [23]. در حالت تک فاز بجای معادلات (1) و (2)، تنها معادله (3) که معرف بقای جرم در پلیمر می باشد حل می شود [20]. با توجه به آن که ضخامت پلیمر در برابر دیواره رگ بسیار کم است و استرات از عبور جریان پلاسمما به درون پلیمر جلوگیری می کند، لذا جریان درون پلیمر قابل صرف نظر کردن است.

$$\frac{\partial \tilde{c}_1^s}{\partial \tilde{t}} + \frac{\rho_1}{\tilde{t}_1} \left( \tilde{c}_1^s - \frac{\tilde{c}_1^f}{(k\epsilon)_1} \right) = 0 \quad (1)$$

$$\frac{\partial \tilde{c}_1^f}{\partial \tilde{t}} - D_1^f \frac{\partial^2 \tilde{c}_1^f}{\partial \tilde{x}^2} - \frac{(k\epsilon)_1}{\tilde{t}_1} \left( \tilde{c}_1^s - \frac{\tilde{c}_1^f}{(k\epsilon)_1} \right) = 0 \quad , \quad \tilde{x}_{-1} \leq \tilde{x} < 0 \quad (2)$$

$$\frac{\partial \tilde{c}_1^f}{\partial \tilde{t}} - D_1^f \frac{\partial^2 \tilde{c}_1^f}{\partial \tilde{x}^2} = 0 \quad , \quad \tilde{x}_{-1} \leq \tilde{x} < 0 \quad (3)$$

$\tilde{t}$  مشخصه زمانی تبدیل فاز است به طوری که کاهش این مقدار مovid افزایش شدت تغییر فاز است.  $\rho_1$  مقدار ثابتی است که نسبت تخلخل فاز سیال به جامد را نشان می دهد و توسط رابطه  $(k\epsilon)_1 / (1 - (k\epsilon)_1)$  محاسبه است [23].

وجود اختلاف فشار در دو سمت لایه مدیا باعث برقرار شدن جریان

پلیمر حاوی داروی آبگریز را شبیه سازی کردند. در این مطالعه با استفاده از روش سیال دیواره رهایش داروی پاکلیتاکسل شبیه سازی شد.

در این مطالعه مدل سازی دوفازی برای داروی موجود در پلیمر با مدل سازی تک فاز مقایسه شده و اهمیت آن ارزیابی می شود. به منظور بررسی میزان تاثیر این تبدیل فاز سه مقدار مختلف برای مشخصه تغییر فاز در نظر گرفته شده است. همچنین به طور هم زمان اهمیت اضمحلال دارو توسط واژاوزروم از لایه ادونتیس و متاپولیسیم دارو توسط سلول های موجود در لایه مدیا مدنظر قرار گرفته شده است. در این مطالعه جریان سیال میان بافتی بصورت ضربانی در شبیه سازی حضور دارد. رگ آسیب دیده با ساختار متخلخل چندلایه به مدت 115 ساعت شبیه سازی می شود تا امکان مقایسه با نتایج پژوهش های موجود حفظ شود.

### 2- مدل مفهومی

استنت یک لوله مشبک ساخته شد از مواد مختلفی همچون فولاد ضد زنگ و آلیاژ های حافظه دار است. دارو با بیشترین غلظت یعنی با مقدار  $\tilde{C}^0$  در فاز جامد درون پوشش لانه زنی بوری ژل پلیمری (لایه  $\tilde{L}_1$  در شکل ۱) به ضخامت  $5\mu\text{m}$  بارگذاری و در نهایت بر روی سطح استنت لایه نشانی انجام می شود. پس از قرار گیری استنت در محل گرفتگی فرآیند تبدیل فاز با گذشت زمان شروع می شود. دارو رفته رفته در پلاسما (فاز سیال) حل شده و با ایجاد حفره هایی در پلیمر به درون رگ راه پیدا می کند. مقطع شریان کرونری تقریباً گرد بوده و قطر  $3\text{mm}$  را دارا می باشد. می توان از تغییرات محیطی خواص صرف نظر کرده و هندسه را به دو بعد تقلیل داد. همچنین به دلیل کوتاه بودن طول استنت با صرف نظر از تغییرات محوری رگ می توان هندسه را به یک بعدی کاهش داد. علاوه بر این به دلیل باریک بودن نسبت ضخامت دارو به شعاع شریان کرونری [20] استفاده از دستگاه مختصات کارتزین کار منطقی است [25-21,18,7]. اگرچه میزان آسیب دیدگی رگ و عمق جراحت در عمل مشخص نیست و سبب بوجود آمدن مدل های مختلفی را فراهم نموده است ولی گزارشات از احتمال بالای تخریب لایه های اندوتیلیوم، اینتیما و لایه الاستیک داخلی (در مجموع به ضخامت  $14\mu\text{m}$ ) در طی آنژیوپلاستی خبر می دهند [26,1]. هندسه مدل مفهومی به گونه ای تنظیم شده است که پلیمر را در تماس مستقیم با مدیا قرار می دهد. بنابراین دامنه محاسباتی مطابق "شکل ۱" از سه لایه محیط متخلخل شامل پلیمر، مدیا و ادونتیس با ابعاد و خواص هیدرولیکی متفاوت که به لحاظ مکروسکوپیک همگن هستند تشکیل شده است. لایه ها به گونه ای در کنار یکدیگر قرار گرفته اند که لایه نام در بازه  $[\tilde{x}_{-1} - \tilde{x}_{-2} - \tilde{x}_1]$  قرار گرفته و  $-\tilde{x}_1$  سطح استرات را نشان می دهد در پایه ریزی معادلات حاکم از تغیری محیط های متخلخل استفاده می شود. با توجه به تاثیر اندک پوشش فوقانی در مورد داروی هپارین به منظور کاهش پیچیدگی های مسئله پوشش فوقانی از مدل مفهومی حذف می گردد [20]. در صورت استفاده از مدل دوفازی، پلیمر در هر لحظه فاز های سیال و جامد را به صورت یکجا در بر دارد بنابراین در هر لحظه دو پروفیل غلظت در پلیمر خواهیم داشت.

### 3- مدل ریاضی

در این بخش معادلات حاکم پایه ریزی شده بر مبنای تئوری محیط های متخلخل و براساس مدل مفهومی توسعه داده شده اند. همچنین شرایط مرزی و اولیه متناسب با فیزیک مسئله در نظر گرفته می شود. با توجه به مدل مفهومی می توان فرضیات حاکم بر مسئله را به صورت زیر خلاصه کرد.

دریچه آنورت استفاده شده است. رفتار نوسانی فشار توسط تابع سینوسی مدل سازی می شود [29].

$$\tilde{p}(\tilde{x}, \tilde{t}) = 100 + 25\sin(2\pi\tilde{t}/\tilde{T}), \quad \tilde{x} = 0 \quad (15)$$

مقادیر ثابت 100mmHg در این رابطه (مقدار متوسط تابع) بیانگر میانگین فشارهای سیستولیک و دیاستولیک است و از آنجا که مدت زمان هر سیکل قلیبی در حدود 1s می باشد  $\tilde{T}$  برابر 1 در نظر گرفته می شود [29].

در فصل مشترک مدیا-ادونتیس مقدار ثابت 30mmHg را به عنوان

شرط مزدی در حل معادله فشار در نظر می گیریم [28,27].

$$\tilde{p}(\tilde{x}, \tilde{t}) = 30, \quad \tilde{x} = \tilde{x}_1 \quad (16)$$

در حل معادلات بقای جرم برای فاز سیال دوشط پیوستگی شار غلظت و برابری غلظت داروی موجود در میان حفره های محیط متخلخل در هر دو فصل مشترک پلیمر-مدیا و مدیا-ادونتیس برقرار است. از آنجا که ترم جابجایی فقط در لایه مدیا وجود دارد برابری شار انتقال جرم در فصل مشترک ها با دو عبارت مختلف بیان می شوند. بدین ترتیب در فصل مشترک پلیمر-مدیا دو معادله (17) و (18) و در فصل مشترک مدیا-ادونتیس دو

معادله (19) و (20) برقرار هستند.

$$\frac{\tilde{c}_1^f}{(k\epsilon)_1} = \frac{\tilde{c}_2^f}{(k\epsilon)_2}, \quad \tilde{x} = 0 \quad (17)$$

$$-D_1^f \frac{\partial \tilde{c}_1^f}{\partial \tilde{x}} = -D_2^f \frac{\partial \tilde{c}_2^f}{\partial \tilde{x}} + (1 - \sigma_f) \tilde{u}(\tilde{x}, \tilde{t}) \tilde{c}_2^f, \quad \tilde{x} = 0 \quad (18)$$

$$\frac{\tilde{c}_2^f}{(k\epsilon)_2} = \frac{\tilde{c}_3^f}{(k\epsilon)_3}, \quad \tilde{x} = \tilde{x}_1 \quad (19)$$

$$-D_2^f \frac{\partial \tilde{c}_2^f}{\partial \tilde{x}} + (1 - \sigma_f) \tilde{u}(\tilde{x}, \tilde{t}) \tilde{c}_2^f = -D_3^f \frac{\partial \tilde{c}_3^f}{\partial \tilde{x}}, \quad \tilde{x} = \tilde{x}_1 \quad (20)$$

### 3-3-ب) بعدسازی معادلات

تا اینجا متغیرهای موجود در معادلات حاکم و شرایط مزدی و اولیه همگی با قرار دادن علامت تیلید بر روی آنها مشخص شدند. به منظور عمومی تر کردن نتایج بی بعدسازی معادلات توزیع پارامترهای زیر انجام می شود. همچنین به منظور ساده کردن شکل ظاهری معادلات بدون بعد، متغیرها بدون علامت تیلید و به صورت غیرایاتالیک هستند.

$$x = \frac{\tilde{x}}{\tilde{L}_2 + \tilde{L}_3}, L_i = \frac{\tilde{L}_i}{\tilde{L}_2 + \tilde{L}_3}, t = \frac{D_{\max}}{(\tilde{L}_2 + \tilde{L}_3)^2} \tilde{t}, c_i = \frac{\tilde{c}_i}{\tilde{c}_0}$$

$$\sigma_i = \frac{(k\epsilon)_i}{(k\epsilon)_{\max}}, u(x, t) = \frac{\tilde{u}(\tilde{x}, \tilde{t})}{U_{\text{ref}}}, t_1 = \frac{D_{\max}}{(\tilde{L}_2 + \tilde{L}_3)^2} \tilde{t}_1$$

$$\Gamma = \frac{\kappa}{D_{\max} \mu \lambda (k\epsilon)_2}, Pe = \frac{(1 - \sigma_f) U_{\text{ref}} (\tilde{L}_2 + \tilde{L}_3)}{D_{\max}}, \gamma_i = \frac{D_i}{D_{\max}}$$

$$Da_i = \frac{\beta_i (\tilde{L}_2 + \tilde{L}_3)^2}{D_{\max}}, VV = \frac{-\kappa \tilde{p}(\tilde{x}_1, \tilde{t})}{\mu (\tilde{L}_2 + \tilde{L}_3)^2 U_{\text{ref}}}, p(x, t) = \frac{\tilde{p}(\tilde{x}, \tilde{t})}{\tilde{p}(\tilde{x}_1, \tilde{t})}$$

ظاهر شده در بی بعدسازی معادله دارسی سرعت ثابتی است که با عامل معادله دارسی بر شرط اولیه پروفیل فشار محاسبه می شود.  $Da$  بدون بعد دامکه‌لر حاصل از ترم چاه موجود در لایه ادونتیس است. همچنین  $\tilde{p}(\tilde{x}_1, \tilde{t})$  مقدار ثابتی است که فشار در فصل مشترک مدیا-ادونتیس می باشد. با اعمال پارامترهای بدون بعد به معادلات (1) تا (20) معادلات بدون بعد بصورت زیر بازنویسی می شوند.

$$\frac{\partial c_1^s}{\partial t} + \frac{\rho_1}{t_1} \left( c_1^s - \frac{c_1^f}{(k\epsilon)_1} \right) = 0, \quad x_{-1} \leq x < 0 \quad (21)$$

$$\frac{\partial c_1^f}{\partial t} - \gamma_1 \frac{\partial^2 c_1}{\partial x^2} - \frac{\rho_1}{t_1} \left( c_1^s - \frac{c_1^f}{(k\epsilon)_1} \right) = 0, \quad x_{-1} \leq x < 0 \quad (22)$$

پلاسمای شود که تاثیر نسبتاً قابل توجهی را بر سینتیک رهایش دارو دارد [20]. اثر متاپولیسیم دارو با سلولهای موجود در لایه مدیا توسط ترم چاه مدل سازی می شود [13,12,7].

$$\frac{\partial \tilde{c}_2^f}{\partial \tilde{t}} - D_2^f \frac{\partial^2 \tilde{c}_2^f}{\partial \tilde{x}^2} + (1 - \sigma_f) \tilde{u}(\tilde{x}, \tilde{t}) \frac{\partial \tilde{c}_2^f}{\partial \tilde{x}} + \beta \tilde{c}_2^f = 0, \quad 0 \leq \tilde{x} < \tilde{x}_1 \quad (4)$$

حضور واژاوزروم و مویرگ ها در لایه ادونتیس به دلیل ایجاد شرایط مصرف دارو، به صورت ترم چاه مدل سازی می شوند [21,8].

$$\frac{\partial \tilde{c}_3^f}{\partial \tilde{t}} - D_3^f \frac{\partial^2 \tilde{c}_3^f}{\partial \tilde{x}^2} + \beta \tilde{c}_3^f = 0, \quad \tilde{x}_1 \leq \tilde{x} < \tilde{x}_2 \quad (5)$$

طبعیت ضربانی جریان خون درون مجرأ و تاثیر آن بر جریان پلاسمای درون دیواره رگ لازمه حل معادله نفوذ فشار است. به همین منظور ابتدا توزیع فشار در لایه مدیا توسط رابطه (6) به دست می آید [20]. پس از آن به دست آوردن توزیع فشار توسط قانون دارسی توزیع سرعت محاسبه می شود.

$$\frac{\partial \tilde{p}}{\partial \tilde{t}} = \frac{\kappa}{\mu \lambda (k\epsilon)_2} \frac{\partial^2 \tilde{p}}{\partial \tilde{x}^2}, \quad 0 \leq \tilde{x} < \tilde{x}_1 \quad (6)$$

$$\tilde{u}(\tilde{x}, \tilde{t}) = \frac{-\kappa \frac{\partial \tilde{p}}{\partial \tilde{x}}}{\mu}, \quad 0 \leq \tilde{x} < \tilde{x}_1 \quad (7)$$

### 2-3-شرایط اولیه و مرزی

شرایط اولیه و مرزی متناسب با مدل مفهومی برای حل معادلات (7-1) در زیر به تفکیک بیان شده اند.

#### 2-3-1-شرایط اولیه

در مدل دوفازی هیارین در ابتدا به صورت جامد با غلظت  $\tilde{c}_1^0$  درون پلیمر قرار دارد. در این لحظه هیچ دارویی در فاز مایع درون پلیمر وجود ندارد [23].

$$\tilde{c}_1^s(\tilde{x}, 0) = \tilde{c}^0, \quad \tilde{x}_{-1} \leq \tilde{x} < 0 \quad (8)$$

$$\tilde{c}_1^f(\tilde{x}, 0) = 0, \quad \tilde{x}_{-1} \leq \tilde{x} < 0 \quad (9)$$

در مدل تک فاز در ابتدا همه دارو به صورت مایع در پلیمر ذخیره شده است.

$$\tilde{c}_1^f(\tilde{x}, 0) = \tilde{c}^0, \quad \tilde{x}_{-1} \leq \tilde{x} < 0 \quad (10)$$

در شروع فرآیند هیچ دارویی درون دیواره رگ وجود ندارد.

$$\tilde{c}_i^f(\tilde{x}, 0) = 0, \quad i = 2, 3, \quad \tilde{x}_{i-2} \leq \tilde{x} < \tilde{x}_{i-1} \quad (11)$$

توزیع خطی فشار در امتداد لایه مدیا از مقدار 100mmHg در فصل مشترک پلیمر-مدیا تا 30mmHg در فصل مشترک مدیا-ادونتیس به عنوان شرط اولیه برای حل معادله نفوذ فشار در نظر گرفته شده است. در حقیقت برای  $\tilde{p}(0, \tilde{t})$  میانگین فشار خون در حالت ضربانی در نظر گرفته شده است [20].

$$\tilde{p}(\tilde{x}, \tilde{t}) = \left( \frac{\tilde{p}(\tilde{L}_2, \tilde{t}) - \tilde{p}(0, \tilde{t})}{\tilde{L}_2} \right) \tilde{x} + \tilde{p}(0, \tilde{t}), \quad \tilde{t} = 0 \quad (12)$$

### 2-2-3-شرایط مرزی

استرات به دلیل تراوا نبودن از عبور پلاسمای جلوگیری می کند، از این رو شار غلظت عبوری دارو در فاز مایع از سطح استرات صفر در نظر گرفته می شود.

$$D_1^f \frac{\partial \tilde{c}_1^f}{\partial \tilde{x}} = 0, \quad \tilde{x} = \tilde{x}_{-1} \quad (13)$$

در انتهای لایه ادونتیس غلظت دارو صفر در نظر گرفته می شود [18].

$$\tilde{c}_3^f(\tilde{x}, \tilde{t}) = 0, \quad \tilde{x} = \tilde{x}_2 \quad (14)$$

به دلیل نزدیک بودن شریان کرونری به دریچه آنورت از رفتار فشار در

اختلاف شدید غلظت در دو سمت فصل مشترک پلیمر-میدیا تغییر ناگهانی در غلظت رخ می‌دهد. بنابراین با به کار بردن تضاد هندسی با قدر نسبت‌های متفاوت تولید شبکه به صورت غیرگوناخت به گونه‌ای که تراکم سلول‌های محاسباتی در هر دو فصل مشترک بالا باشد در دستور کار قرار گرفت.

#### 4-2-روش گسسته‌سازی

کلیه معادلات حاکم توسط روش حجم محدود گسسته شده و بر روی حجم کنترل نشان داده شده در "شکل 3" حل شدند. کلیه خواص در مرکز سلول‌ها اندازه‌گیری می‌شوند. پدیده نفوذ که شامل مشتق مرتبه دوم مکان می‌باشد توسط روش اختلاف مرکزی با دقت مرتبه دوم و ترم‌های شامل مشتق زمانی به روش کاملاً صریح مرتبه اول در معادلات گسسته شده‌اند. محدودیت این روش در گسسته‌سازی ترم زمان توسط چهار شرط همگرایی در رابطه (41) بیان می‌شود. برای اطمینان از همگرا شدن حل معادلات (21)-(26) بعد شبکه و گام زمانی باید به گونه‌ای انجام شوند که این اعداد کمتر از 0.5 باشند.

$$\text{Courant}_i = \frac{\gamma_i \Delta t}{\Delta \delta} ; \quad \text{Courant}_p = \frac{\Gamma \Delta t}{\Delta \delta} \quad (41)$$

در این رابطه  $\Delta t$ ،  $\Delta$  و  $\delta$  به ترتیب گام زمانی، عرض سلول و فاصله مرکز تا مرکز دو سلول مجاور را نشان می‌دهند. به دلیل کوپل نبودن معادلات حاکم روند حل به این گونه است که برای هر گام زمانی، به ترتیب معادله نفوذ فشار (معادله (26)) و سپس معادله دارسی (معادله (27)) برای لایه میدیا حل می‌شوند. پس از مشخص شدن عدد پکلت، در همان گام زمانی معادلات (21) تا (25) برای محاسبه غلظت حل می‌شوند. بدین ترتیب حل مسئله با همین روند تا رسیدن به زمان 115h ادامه پیدا می‌کند [20].

#### 4-3-اعتبارسنجی

به منظور ارزیابی صحت کد نوشته شده کلیه فرضیات استفاده شده توسط پونترلی و همکاران [23] در شبیه‌سازی در نظر گرفته شدند. بدین منظور کلیه لایه‌های رگ از اندوتیلیوم تا ادونتیس شبیه‌سازی شدند و از ترم‌های جابجایی و واکنشی دارو صرف نظر شد. با در نظر گرفتن مقادیر یکسان برای پارامترهای حاکم بر مسئله کلیه نتایج بازتولید شدند که به دلیل تعداد زیاد لایه‌ها تنها تغییرات جرم در لایه میدیا مورد ارزیابی قرار گرفته شده است. "شکل 2" انتباطی خوب نتایج را به صورت بصری نشان می‌دهد. سپس برنامه در چند شبکه با تعداد سلول‌های مختلف اجرا شد و بیشینه مقدار دارویی که توسط لایه میدیا تجربه می‌شود به عنوان معیار دقت کد در نظر گرفته شد. جزئیات استقلال از شبکه در جدول 2 نشان داده شده است. پس از انتخاب شبکه موردنظر، معادلات حاکم بر مسئله با توجه به مدل مفهومی ارائه شده

جدول 2 نتایج حاصل از مطالعه شبکه

Table 2 The results of grid study

	اجراهای	تعداد سلول‌های شبکه	
3	2	1	پلیمر
130	70	50	پلیمر
54	20	15	اندوتیلیوم
84	30	20	اینتیما
22	10	7	لایه الاستیک داخلی
1720	400	300	میدیا
1650	500	400	ادونتیس
7.3006	7.2772	7.2421	$m_{\text{media}}(t^*)$
0.3196	0.4831	-	درصد تغییرات (%)

$$\frac{\partial c_1^f}{\partial t} - \gamma_1 \frac{\partial^2 c_1^f}{\partial x^2} = 0, \quad x_{-1} \leq x < 0 \quad (23)$$

$$\frac{\partial c_2^f}{\partial t} - \gamma_2 \frac{\partial^2 c_2^f}{\partial x^2} + Pe u(x,t) \frac{\partial c_2^f}{\partial x} + Da_2 c_2^f = 0, \quad 0 \leq x < x_1 \quad (24)$$

$$\frac{\partial c_3^f}{\partial t} - \gamma_3 \frac{\partial^2 c_3^f}{\partial x^2} + Da_3 c_3^f = 0, \quad x_1 \leq x < x_2 \quad (25)$$

$$\frac{\partial p}{\partial t} = \Gamma \frac{\partial^2 p}{\partial x^2}, \quad 0 \leq x < x_1 \quad (26)$$

$$u = VV \frac{\partial p}{\partial x}, \quad 0 \leq x < x_1 \quad (27)$$

$$c_1^s(x, 0) = 1, \quad x_{-1} \leq x < 0 \quad (28)$$

$$c_1^f(x, 0) = 0, \quad x_{-1} \leq x < 0 \quad (29)$$

$$c_1^f(x, 0) = 1, \quad x_{-1} \leq x < 0 \quad (30)$$

$$c_i^f(x, 0) = 0, \quad i = 2, 3, \quad x_{i-2} \leq x < x_{i-1} \quad (31)$$

$$p(x, 0) = (p(x_1, t) - p(0, t)) \left( \frac{L_2 + L_3}{L_2} \right) x, \quad 0 \leq x < x_1 \\ + p(0, t) \quad (32)$$

$$\gamma_1 \frac{\partial c_1^f}{\partial x} = 0, \quad x = x_{-1} \quad (33)$$

$$c_3^f(x, t) = 0, \quad x = x_2 \quad (34)$$

$$p(x, t) = 3.33 + 0.833 \sin \left( \frac{2\pi t}{12 \times 10^{-8}} \right), \quad x = 0 \quad (35)$$

$$p(x, t) = 1, \quad x = x_1 \quad (36)$$

$$\frac{c_1^f}{\sigma_1} = \frac{c_2^f}{\sigma_2}, \quad x = 0 \quad (37)$$

$$-\gamma_1 \frac{\partial c_1^f}{\partial x} = -\gamma_2 \frac{\partial c_2^f}{\partial x} + Pe u(x, t) c_2^f, \quad x = 0 \quad (38)$$

$$\frac{c_2^f}{\sigma_2} = \frac{c_3^f}{\sigma_3}, \quad x = x_1 \quad (39)$$

$$-\gamma_2 \frac{\partial c_2^f}{\partial x} + Pe u(x, t) c_2^f = -\gamma_3 \frac{\partial c_3^f}{\partial x}, \quad x = x_1 \quad (40)$$

معادلات (21) تا (40) با استفاده از خواص هیدرولیکی و مکانیکی نشان داده شده در جدول 1 قابل حل هستند. بدین ترتیب معادلات به همراه شرایط میزی و اولیه آماده حل هستند.

#### 4-روش حل مسئله

با توجه به نوسانی بودن فشار در فصل مشترک پلیمر-میدیا و پیچیدگی معادلات و شرایط میزی، حل مسئله به روش تحلیلی دشوار بوده و عملای غیرممکن می‌باشد، لذا حل معادلات به روش عددی حجم محدود توسط برنامه‌نویسی به زبان فرترن انجام می‌شود.

#### 4-1-تولید شبکه

با توجه به شرایط اولیه حاکم بر مسئله، در ابتدای فرآیند به دلیل وجود

جدول 1 خواص هیدرولیکی و مکانیکی لایه‌های مورد مطالعه [20].

Table 1 Hydraulic and mechanical properties of all investigated layers [20].

پارامترها	لایه‌ها	میدیا	ادونتیس	اجراهای
$D$	$10^{-14}$	$7.7 \times 10^{-12}$	$12 \times 10^{-12}$	3
$L$	$5 \times 10^{-6}$	$200 \times 10^{-6}$	$9800 \times 10^{-6}$	2
$\epsilon$	0.1	0.61	0.85	1
$k$	1	1	1	1
$\sigma_f$	-	0.8836	-	-
$\kappa$	-	$2 \times 10^{-18}$	-	-
$\beta$	-	$3 \times 10^{-4}$	$3 \times 10^{-4}$	7.2421
$\mu$	-	$0.72 \times 10^{-3}$	-	$m_{\text{media}}(t^*)$
$\lambda$	-	4.5398	-	0.4831
$U_{\text{ref}}$	-	$1.296 \times 10^{-7}$	-	0.3196

در این شکل همچنین دیده می شود که با کاهش  $t_1$  سطح غلظت دارو افزایش می یابد. این روند تا اواسط دوره رهایش، یعنی 57 ساعت پس از شروع فرآیند که در "شکل 4b" نشان داده شده است حفظ می شود اما در "شکل 4c" شاهد این روند نیستیم. با دنبال کردن تغییرات پروفیل ها نسبت به زمان و مقایسه توزیع غلظت "شکل 4a" و "4c" دیده می شود که با گذشت زمان هم در حالت حضور ترم واکنشی و هم در نبود آن پروفیل ها به یکدیگر نزدیکتر می شوند. بنابراین تأثیر تغییر فاز دارو به زمان بستگی دارد و در زمان آغاز فرآیند بسیار بیشتر از زمان های پایانی است.

اهمیت ترم واکنشی که معرف خروج دارو از طریق واژاوازوروم و ورود دارو به درون پروتئین موجود در بافت و متاپولیزه شدن آن می باشد سبب کاهش نسبتاً قابل توجهی در غلظت می شود. نکته جالب توجه در ترم واکنشی دارو این است که با افزایش  $t_1$  و بالا رفتن سطح غلظت، فاصله بین پروفیل ها در شرایط با و بدون ترم واکنشی بیشتر می شود. به عبارت دیگر هرچه میزان غلظت دارو بیشتر باشد، شدت اثر ترم واکنشی دارو نیز بیشتر می شود. این مسئله در "شکل 4a" که توزیع غلظت در لایه مدیا 1 ساعت پس از آغاز فرآیند را نشان می دهد به خوبی دیده می شود.

در نزدیکی  $x = 0$  خمیدگی کوچکی در پروفیل غلظت دیده می شود که به دلیل وجود نوسانات فشار است. در حقیقت نوسانات سینوسی فشار در فصل مشترک پوشش- مدیا باعث ایجاد نوسانات در تغییر سرعت فیلتراسیون می شود که این اثر مستقیماً به معادله بقای جرم منتقل می شود.

## 5- اثر تبدیل فاز و اضمحلال دارو بر توزیع غلظت دارو درون لایه ادونتیس

"شکل 5a" نشان می دهد که در زمان های اولیه انتخاب مقدار بزرگ برای مشخصه زمانی تغییر فاز سبب می شود تا غلظت در لایه ادونتیس نیز مشابه با لایه مدیا در سطح پایین تری قرار بگیرد. اما با گذشت زمان و با بررسی "شکل های 5a تا 5c" دیده می شود که این روند زودتر از مدیا از بین می رود به طوری که در اواسط دوره رهایش، یعنی در زمان 57h پروفیل های غلظت یکدیگر را قطع می کنند. میزان تاثیرگذاری استفاده از مدل دوفازی در زمان های ابتدایی قابل توجه است و شدت آن با گذشت زمان و با نزدیک شدن پروفیل های غلظت به یکدیگر کاهش می یابد. "شکل 5a" نشان می دهد که در کندرتین حالت تغییر فاز دارو به قدری آهسته در پلاسمای حل می شود که 1 ساعت پس از شروع فرآیند تقریباً هیچ دارویی وارد ادونتیس نشده است.

در خصوص اهمیت اثر اضمحلال دارو بر پروفیل غلظت لازم به ذکر است سطح غلظت مسئله تعیین کننده است به طوری که افزایش سطح غلظت دارو فاصله پروفیل ها در شرایط با و بدون ترم اضمحلال دارو را افزایش می دهد. این مسئله به خوبی در "شکل 5a" دیده می شود. بنابراین هر عاملی که سطح غلظت دارو را افزایش دهد می تواند اثر اضمحلال دارو را شدت ببخشد.

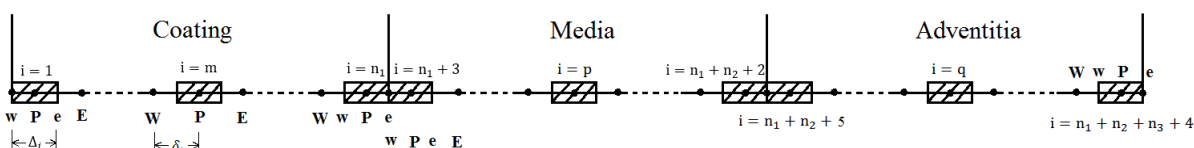


Fig. 3 Schematic representation of one-dimensional healthy coronary artery [20]

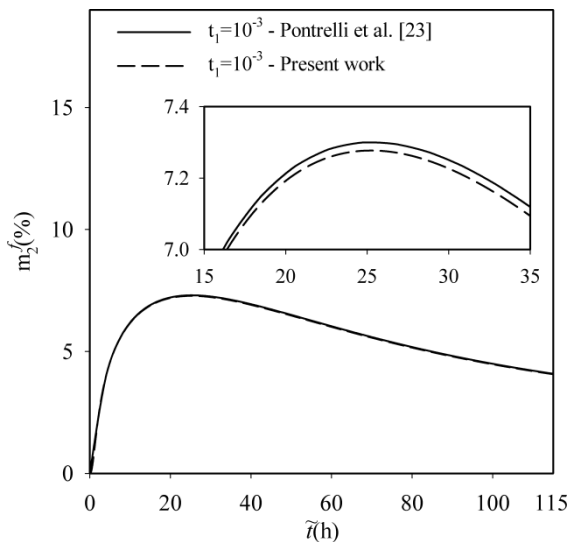


Fig. 2 مقایسه پروفیل های جرم نتایج عددی حاضر و نتایج تحلیلی پونتلری و همکاران [23] در مدت 115 ساعت.

در بخش 2 و فرضیات استفاده شده در بخش 3 حل شدند.

## 5- نتایج و بحث

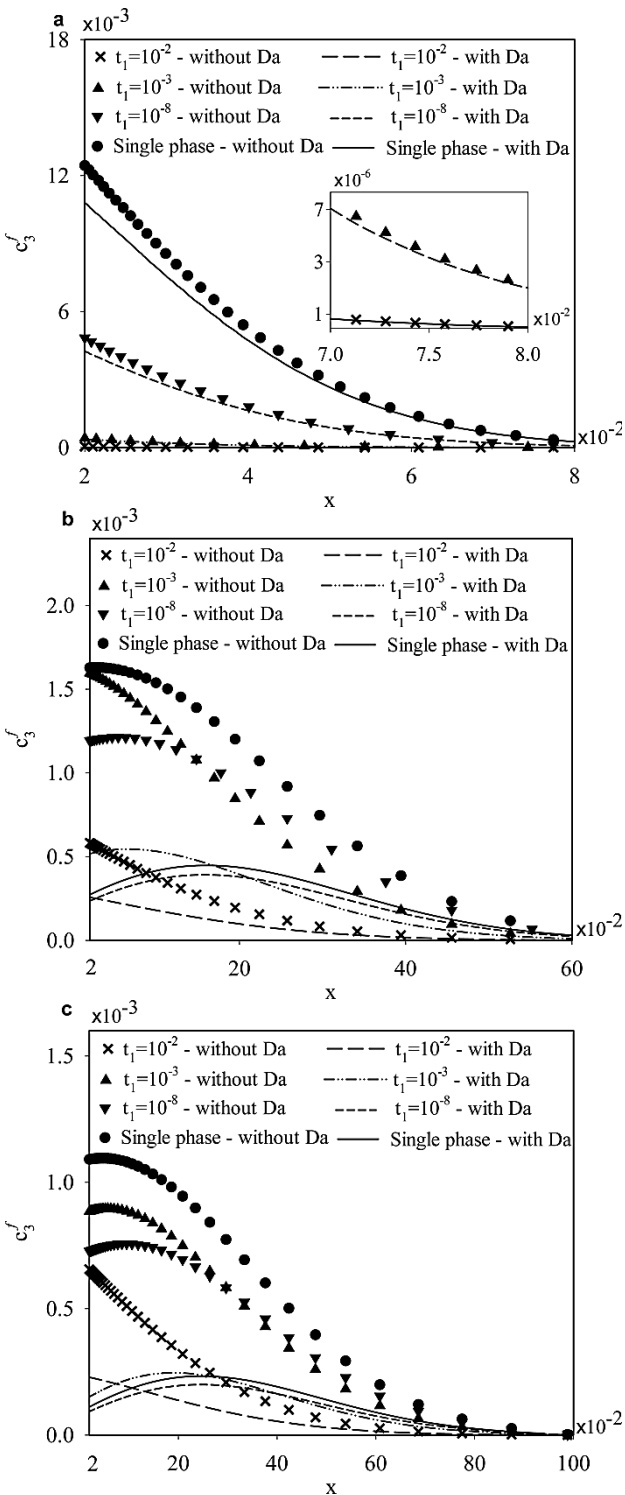
نتایج برنامه توسعه داده شده در پنج بخش پیش رو تقسیم شده و به تفکیک بیان می شوند. سه بخش اول مربوط به پروفیل های غلظت می باشد. اهمیت در نظر گرفتن تغییر فاز دارو در پلیمر در دو حالت شامل فرض تکفاز و مدل دقیق تر و نزدیک به واقعیت دوفازی به طور جدآگاهه بررسی می شود. بدین ترتیب فرض تکفاز بودن مورد ارزیابی قرار می گیرد. علاوه بر این برای مدل دوفازی سه مقدار  $10^{-2}$ ،  $10^{-3}$  و  $10^{-8}$  برای مشخصه تغییر فاز ( $t_1$ ) در نظر گرفته شده است تا بدین ترتیب حساسیت فارماکوکینتیک دارو به این پارامتر برآورد شود. پروفیل های غلظت در این چهار حالت در شرایط با و بدون ترم واکنشی ترسیم می شوند تا بدین ترتیب اثر اضمحلال دارو نیز بررسی شود. این هشت حالت مختلف در سه زمان 1h، 57h و 115h محاسبه و ترسیم می شوند. لازم به توضیح است که پارامتر غلظت، جرم و مختصه مکانی همگی بدون بعد هستند و نمودارهای توزیع غلظت به صورت بدون بعد ترسیم شده اند. اما در قسمت های 5-4 و 5-5 تغییرات جرم بدون بعد در مقابل زمان بعد دار ترسیم شده است.

## 5-1- اثر تبدیل فاز و اضمحلال دارو بر توزیع غلظت دارو درون لایه مدیا

از "شکل 4a" به خوبی دیده می شود که در صورت استفاده از مقدار بزرگ  $t_1$  یعنی مقدار  $10^{-2}$  به عنوان کندرتین حالت تبدیل فاز، پس از گذشت زمان 1h از شروع فرآیند تقریباً هنوز هیچ دارویی موفق به ورود به مدیا نشده است.

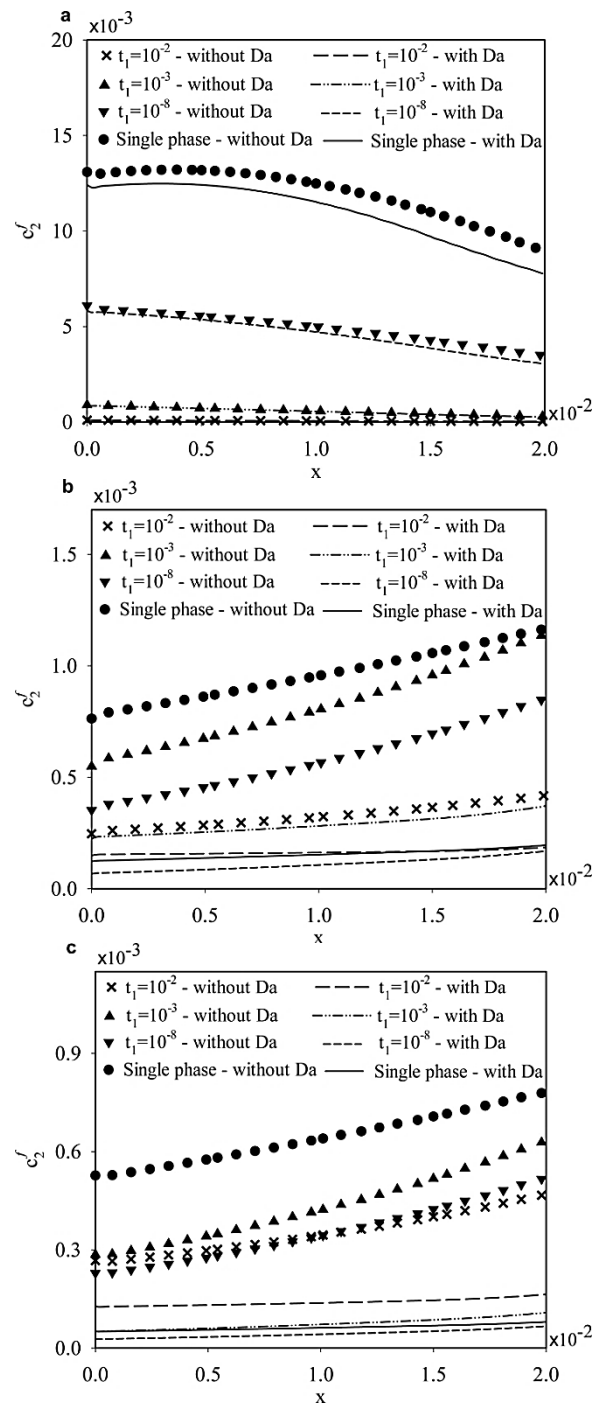
شکل 3 طرحواره یکبعدی از شریان کرونری سالم [20]

حال کاهش است. از طرفی با توجه به شرط اولیه غلظت دارو در فاز مایع مربوط به مدل دوفازی (معادله 29) که مقدار صفر را به توزیع اولیه دارو در فاز مایع نسبت می‌دهد، این مسئله نشان می‌دهد که بیشینه سطح غلظت در زمانی کمتر از 1 ساعت رخ داده است. بنابراین در هر سه مقدار در نظر گرفته



**Fig. 5** Concentration distribution along adventitia layer from injured coronary artery for single phase and two phases models at a) 1h, b) 57h, c) 115h, with and without drug consumption.

شکل ۵ توزیع غلظت در لایه ادوانتیس از شریان کرونری آسیب‌دیده برای مدل‌های تک‌فاز و دوفازی در زمان‌های (a) 1 ساعت، (b) 57h و (c) 115h در شرایط با و بدون اضمحلال دارو.



**Fig. 4** Concentration distribution along media layer from injured coronary artery for single phase and two phases models at a) 1h, b) 57h, c) 115h, with and without drug consumption.

شکل ۴ توزیع غلظت در لایه مدیا از شریان کرونری آسیب‌دیده برای مدل‌های تک‌فاز و دوفازی در زمان‌های (a) 1 ساعت، (b) 57h و (c) 115h در شرایط با و بدون اضمحلال دارو.

**۵-۳- اثر تبدیل فاز و اضمحلال دارو بر توزیع غلظت دارو درون پلیمر پروفیل غلظت دارو در پلیمر در فاز مایع و جامد به ترتیب در "شکل‌های ۶ و ۷" ترسیم شده است. دارو از فاز جامد به مایع بهطور بازگشت نابذیر تبدیل می‌شود. بدین معنی که دارویی که به فاز مایع تبدیل می‌شود دیگر قادر نخواهد بود به فاز جامد تغییر فاز دهد. با دنبال کردن هر یک از پروفیل‌های موجود در "شکل ۶" دیده می‌شود که سطح غلظت با گذشت زمان دائماً در**

در مدل تک فاز را نیز نشان می دهد. "شکل های 6 و 7" نشان می دهند اگرچه اضمحل دارو پروفیل های غلظت در لایه های مدیا و ادونتیس را بسیار تحت

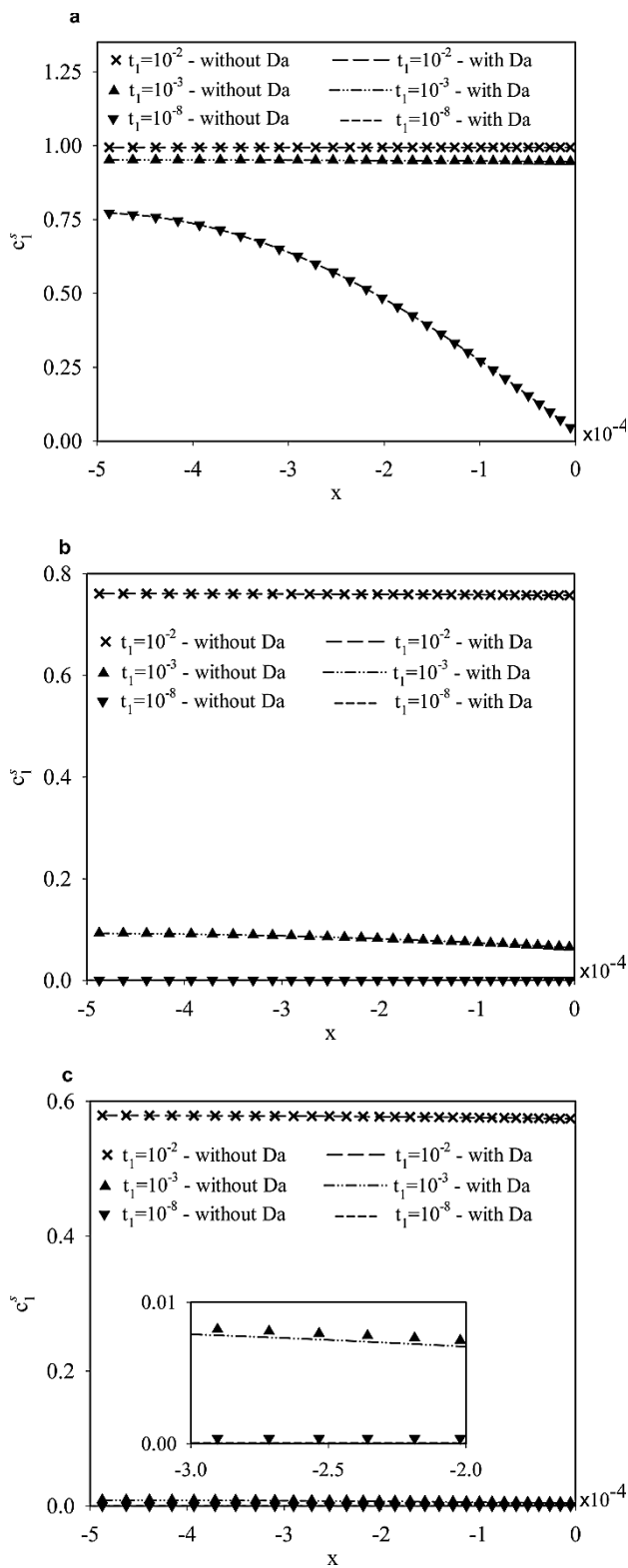


Fig. 7 Solid concentration distribution into polymeric coating for single phase and two phases models at a) 1h, b) 57h, c) 115h, with and without drug consumption.

شکل 7 توزیع غلظت در فاز جامد درون پوشش پلیمری برای مدل های تک فاز و دوفازی در زمان های (a) 1 ساعت، (b) 57h و (c) 115h در شرایط با و بدون اضمحل دارو

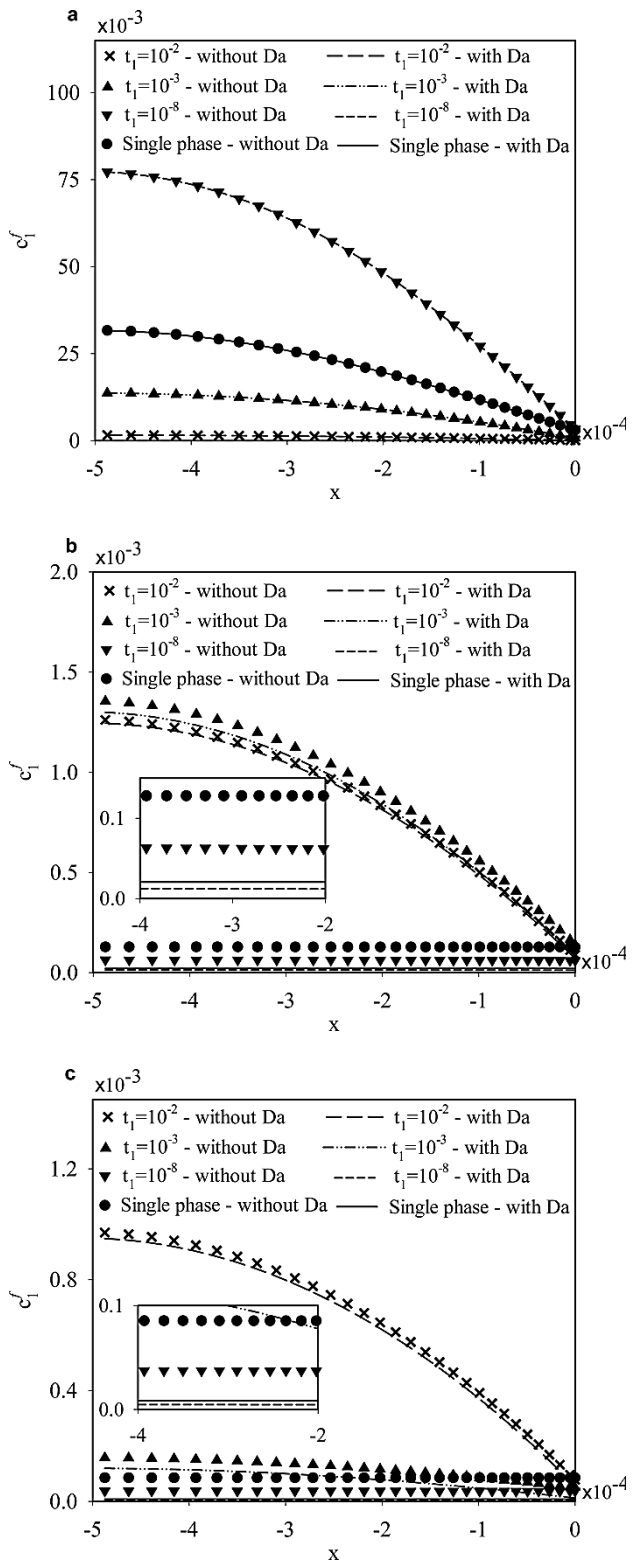


Fig. 6 توزیع غلظت در فاز مایع درون پوشش پلیمری برای مدل های تک فاز و دوفازی در زمان های (a) 1h، (b) 57h، (c) 115h، با و بدون اضمحل دارو.

شده برای مشخصه تغییر فاز دارو در کمتر از 1 ساعت غلظت فاز مایع موجود در پلیمر به بیشینه مقدار خود می رسد. "شکل 6" سرعت بالای تخلیه دارو

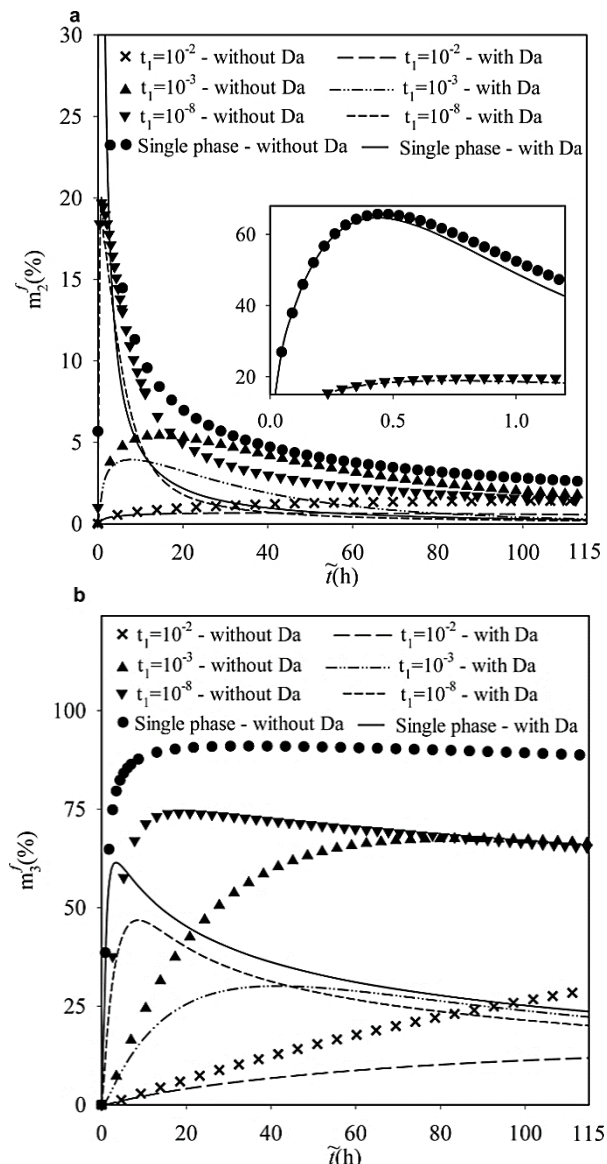


Fig. 8 Mass profiles in a) media and b) adventitia layers by passing 115h for single phase and two phases models with and without drug consumption.

شکل 8 پروفیل‌های جرم در لایه‌های (a) مدیا، (b) ادونتیس در مدت 115h برای مدل‌های تک‌فاز و دوفازی در شرایط با و بدون اضمحلال دارو.

در حقیقت همان‌طور که شکل 10a نشان می‌دهد با افزایش  $t_1$  (کاهش سرعت تغییر فاز) دارو روند آرام‌تر را برای تخلیه دنبال می‌کند و جرم داروی در دسترس در فاز مایع برای نفوذ به لایه مدیا به آهستگی کاهش می‌یابد. همچنین از "شکل‌های 9 و 10" دیده می‌شود که اضمحلال دارو روند تخلیه پلیمر را تحت تأثیر قرار نمی‌دهد. علت آن را می‌توان در شرط مرزی تساوی شار غلظت دارو در فاز مایع در فصل مشترک پلیمر-مدیا (معادله (38)) جستجو کرد. در حقیقت از آنجا که ضریب نفوذ دارو درون پلیمر 770 برابر کمتر از لایه مدیا است، این موضوع سبب می‌شود تا شیب غلظت دارو در فاز مایع در لایه پلیمر و در نزدیکی ناحیه فصل مشترک بسیار زیاد باشد؛ به طبع آن مقدار غلظت در این ناحیه و در کل زمان شبیه‌سازی بسیار پایین نگه داشته شود و بدین ترتیب تأثیر ضریب اضمحلال بر روند تخلیه پلیمر بسیار ناچیز می‌باشد.

تأثیر خود قرار داد ولی از آن جا که تخلخل پلیمر کمتر از لایه مدیا بوده و این نسبت در حدود 0.16 می‌باشد، تأثیر ترم اضمحلال بر توزیع غلظت دارو درون پلیمر کمتر می‌شود. نکته بسیار جالب توجه در "شکل 7" اختلاف در سرعت کاهش سطح غلظت می‌باشد. به طوری که پس از گذشت نزدیک به 5 روز هنوز غلظت دارو به نصف مقدار اولیه خود نرسیده است.

#### 5-4- اثر تبدیل فاز و اضمحلال دارو بر تغییرات جرم دارو درون دیواره رگ

در مطالعات دارویی مقدار داروی موجود در پلاسمای سه بازه بی‌اثر، موثر و سمی تقسیم می‌شود [32]. بدین ترتیب طراحان باید محدوده موثر داروها را مدنظر قرار داده و سعی کنند به نحوی میزان دارو را در بازه بین سمی و بی‌اثر کنترل کنند. در مطالعات پژوهشی نمودارهای "شکل 8a و 8b" که به اثر تغییرات زمانی جرم داروی موجود در لایه‌های مدیا و ادونتیس را نشان می‌دهند بسیار شناخته شده هستند. با انتگرال‌گیری از پروفیل‌های غلظت می‌توان این نمودارها را ترسیم کرد. نتایج نشان می‌دهد در صورت استفاده از فرض تک‌فاز بودن دارو پس گذشت تقریباً 30 دقیقه داروی موجود در لایه مدیا به بیشینه مقدار 65% می‌رسد. از سوی دیگر با ورود سریع به لایه ادونتیس به سرعت از دسترس خارج می‌شود. آنچه در "شکل 8" بسیار حائز اهمیت است تأثیر قابل توجه مخصوصه تغییر فاز بر جرم موجود در جداره رگ است، به گونه‌ای که با افزایش  $t_1$  دارو آرام‌تر وارد مدیا و ادونتیس می‌شود. نکته جالب توجه در لایه مدیا این است که در نظر گرفتن مقدار  $10^{-2}$  برای مشخصه تغییر فاز به قدری سرعت رهاسازی را کند می‌کند که پس از گذشت 115 ساعت از شروع فرآیند هنوز جرم دارو به نقطه بیشینه نرسیده است. در حقیقت زمان رسیدن به نقطه بیشینه جرم موجود در لایه مدیا با  $t_1$  نسبت مستقیم دارد. نمودارهای موجود در "شکل 8" بر لزوم در نظر گرفتن اضمحلال دارو در شبیه‌سازی صحه می‌گذارند. این مسئله در "شکل 8b" به خوبی نشان داده شده است.

#### 5-5- اثر تبدیل فاز و اضمحلال دارو بر تغییرات جرم دارو درون پلیمر

میزان جرم داروی موجود در پلیمر یکی دیگر از نتایج پرکاربرد از دید متخصصان قلب، طراحان پلیمر و داروسازان می‌باشد. با انتگرال‌گیری از پروفیل‌های غلظت در امتداد پلیمر می‌توان جرم دارو را محاسبه کرد. "شکل 9" تغییرات جرم دارو در فاز جامد و "شکل‌های 10a تا 10d" تغییرات جرم دارو در فاز مایع را نشان می‌دهند. نتایج نشان می‌دهند که با افزایش  $t_1$  شدت تخلیه دارو از درون پلیمر کاهش می‌یابد. طراحی پلیمر به گونه‌ای که مشخصه تغییر فاز آن  $10^{-2}$  باشد باعث می‌شود پس از گذشت 115 ساعت حدود 60% از دارو همچنان درون پلیمر باقی بماند و این در حالی است که در طراحی‌های دیگر در این زمان هیچ دارویی در محل ذخیره دارو وجود نخواهد داشت.

در "شکل‌های 10a تا 10d" دیده می‌شود که در زمان‌های ابتدایی به دلیل وجود اختلاف شدید غلظت بین فازهای مایع و جامد تبدیل فاز از جامد به مایع به سرعت اتفاق می‌افتد و غلظت دارو در فاز مایع به سرعت از مقدار صفر شروع به افزایش می‌کند. این افزایش ادامه دارد تا به نقطه بیشینه‌ای رسد. مقدار بیشینه داروی موجود در فاز مایع با مشخصه تغییر فاز نسبت معکوس دارد، به طوری که با افزایش  $t_1$  میزان بیشینه دارو در فاز مایع کاهش می‌یابد.

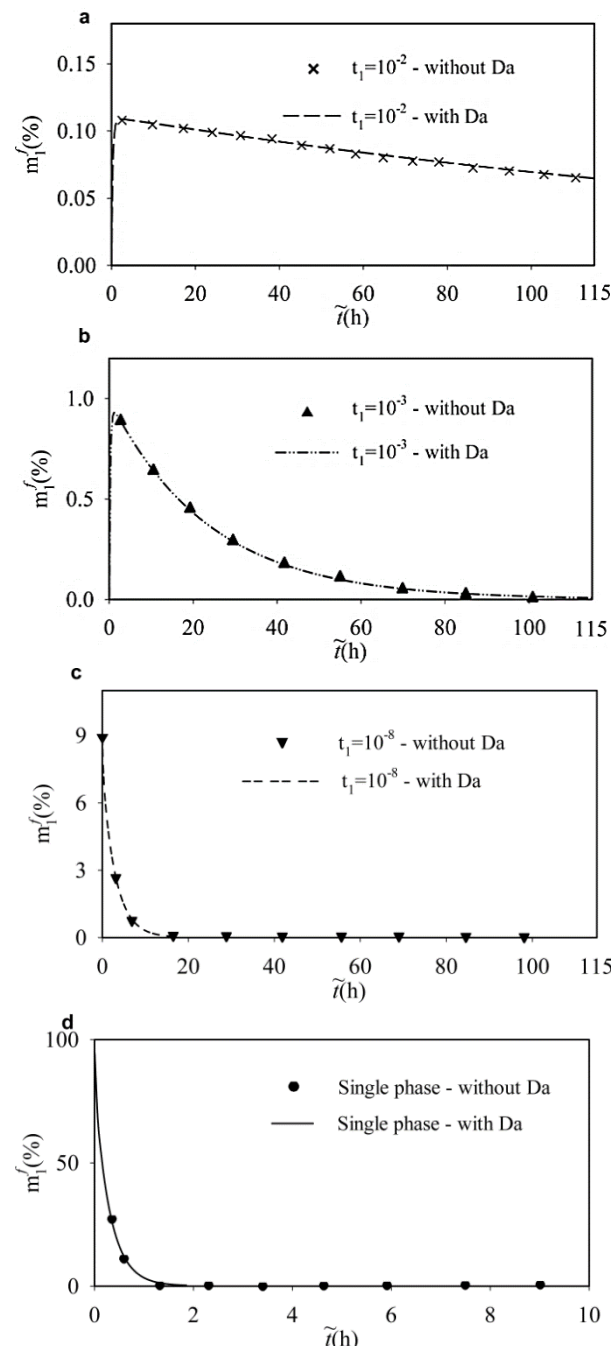


Fig. 10 Solid mass profiles in the polymeric coating by passing 115h for single phase and two phases models with and without drug consumption

شکل 10 پروفیل‌های جرم داروی موجود در پوشش پلیمری در فارمایع طی مدت 115h برای مدل‌های تک‌فاز و دوفازی در شرایط با و بدون اضمحل دارو

سبب ایجاد لختی زیادی در رهایش می‌شود اما می‌توان با طراحی پلیمر به صورت چندلایه این لختی را جبران کرد. این پیشنهاد به این شکل ارائه می‌شود که لایه اول در تماس با دیواره رگ دارای  $t_1$  کوچک و لایه بعدی دارای  $t_1$  بزرگی در نظر گرفته شود. بدین ترتیب داروی موجود در لایه اول با سرعت بیشتر رها شده و لختی زیاد لایه بعدی را جبران می‌کند.

نتایج نشان می‌دهند که تاثیر واژاوزروم و واکنش دارو در سلول‌های موجود در بافت رگ که به صورت ترم چاه در مدل‌سازی ظاهر می‌شوند

## 6- نتیجه‌گیری

رفتار دارو در لایه‌های پلیمر، مدیا و ادونتیس در مدل‌های تک‌فاز و دوفازی در مجموع در چهار طراحی مختلف پلیمر مورد بررسی قرار گرفته شد. بعلاوه، اهمیت ترم واکنشی دارو درون ادونتیس که معرف متاپولیسیم دارو و خروج دارو است مورد ارزیابی قرار گرفت. در مدل‌سازی ریاضی از تئوری محیط‌های متخلخل استفاده شد و با به کار بردن مدل چندلایه طبیعت غیرهمگن بافت رگ از دید ماکروسکوپیک حفظ شد. هر لایه بصورت همگن با خواص متفاوت در نظر گرفته شدند و کلیه لایه‌ها و معادله کلی نفوذ-جابجایی-واکنشی به عنوان فرمولاسیون معرف فرآیند انتقال در دیواره رگ در نظر گرفته شد.

- نتایج به دست آمده حاکی از آن است که با در نظر گرفتن دو مقدار  $10^{-2}$  و  $10^{-3}$  به عنوان دو مقدار حدی از شدت تغییر فاز تغییرات جرم در لایه‌های مدیا و ادونتیس در ابتدا بسیار زیاد بوده و به مرور زمان کم می‌شود. در حقیقت زمان پارامتر تعیین کننده در میزان تأثیر تغییر فاز و اهمیت مدل‌سازی دوفازی است.

- در نظر گرفتن تغییر فاز در شیوه‌سازی امری اجتناب‌ناپذیر است. به گونه‌ای که میزان بیشینه دارو در مدیا را از حدود 68% در صورت تبدیل آنی فاز (در مدل تک‌لایه) به مقدار تقریبی 1% در گندترين شدت تغییر فاز (در مدل دوفازی) تغییر می‌دهد. البته لازم بهذکر است که مقادیر جرم دارو به صورت بدون بعد ارائه شده و هر دو مقدار براساس برگذاری یکسان دارو به دست آمده‌اند.

- از آن جا که اجتناب از تغییر سریع جرم دارو درون رگ و وجود نقطه بیشینه با ارتفاع زیاد نامطلوب است، بنابراین با طراحی پلیمر براساس شدت آهسته تغییر فاز،  $10^{-2}$ ، می‌توان تغییرات زمانی دارو را به میزان قابل توجهی کنترل کرد. و غلظت را در محدوده درمانی نگه داشت. بدین ترتیب حساسیت دارویی استنت کاهش یافته و عملکرد بهتری خواهد داشت.

- طراحی پلیمر به گونه‌ای که برای  $t_1$  مقدار کوچکی انتخاب شود اگرچه

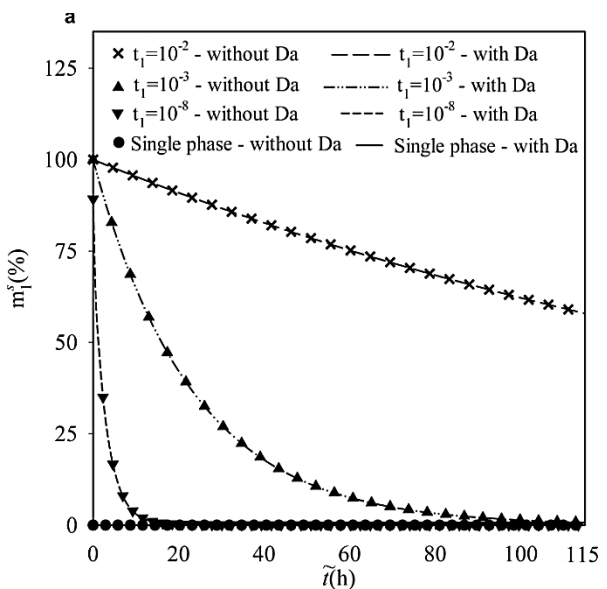


Fig. 9 Solid mass profiles in the polymeric coating by passing 115h for single phase and two phases models with and without drug consumption

شکل 9 پروفیل‌های جرم داروی موجود در پوشش پلیمری در فاز جامد طی مدت 115h برای مدل‌های تک‌فاز و دوفازی در شرایط با و بدون اضمحل دارو

- [6] C. W. Hwang, E. R. Edelman, Arterial ultrastructure influences transport of locally delivered drugs, *Circulation Research*, Vol. 90, No. 7, pp. 826-832, 2002.
- [7] S. McGinty, A decade of modelling drug release from arterial stents, *Mathematical biosciences*, Vol. 257, pp. 80-90, 2014.
- [8] S. McGinty, S. McKee, C. McCormick, M. Wheel, Release mechanism and parameter estimation in drug-eluting stent systems: analytical solutions of drug release and tissue transport, *Mathematical Medicine and Biology*, Vol. 32, No. 2, pp. 163-186, 2015.
- [9] A. Deyranlou, H. Niazmand, Y. Mesri, Blood pulsatile effect on LDL mass transport in a multilayered carotid artery with atherosclerotic plaques, *Modares Mechanical Engineering*, Vol. 14, No. 7, pp. 17-26, 2014. (in Persian)
- [10] A. Deyranlou, H. Niazmand, M.-R. Sadeghi, Investigation of effective parameters on accumulation of low-density lipoproteins based on the multilayer wall of the carotid artery, *Modares Mechanical Engineering*, Vol. 14, No. 4, pp. 27-36, 2014. (in Persian)
- [11] P. Zunino, Multidimensional pharmacokinetic models applied to the design of drug-eluting stents, *Cardiovascular Engineering*, Vol. 4, No. 2, pp. 181-191, 2004.
- [12] G. Pontrelli, F. de Monte, Mass diffusion through two-layer porous media : an application to the drug-eluting stent, *International Journal of Heat and Mass Transfer*, Vol. 50, No. 17-18, pp. 3658-3669, 2007.
- [13] G. Pontrelli, F. de Monte, Modeling of mass dynamics in arterial drug-eluting stents, *Journal of Porous Media*, Vol. 12, No. 1, pp. 19-28, 2009.
- [14] A. Borghi, E. Foa, R. Balossino, F. Migliavacca, G. Dubini, Modelling drug elution from stents: effects of reversible binding in the vascular wall and degradable polymeric matrix, *Computer Methods in Biomechanics and Biomedical Engineering*, Vol. 11, No. 4, pp. 367-377, 2008.
- [15] X. Zhu, D. W. Pack, R. D. Braatz, Modelling intravascular delivery from drug-eluting stents with biodegradable coating: investigation of anisotropic vascular drug diffusivity and arterial drug distribution, *Computer methods in biomechanics and biomedical engineering*, Vol. 17, No. 3, pp. 187-198, 2014.
- [16] J. P. Abraham, J. M. Gorman, E. M. Sparrow, J. R. Stark, R.E. Kohler, A mass transfer model of temporal drug deposition in artery walls, *International Journal of Heat and Mass Transfer*, Vol. 58, No. 1, pp. 632-638, 2013.
- [17] S. M. Vahedi, M. S. Valipour, Numerical simulation of drug release through arterial wall: the investigation of hypertension, *Proceedings of The 24th International conference of Iranian Society of Mechanical Engineers (ISME)*, Yazd, Iran, April 26-28, 2016. (in Persian)
- [18] G. Pontrelli, F. de Monte, A multi-layer porous wall model for coronary drug-eluting stents, *International Journal of Heat and Mass Transfer*, Vol. 53, No. 19-20, pp. 3629-3637, 2010.
- [19] B. M. O'Connell, M. T. Walsh, Arterial mass transport behaviour of drugs from drug eluting stents, *BioMedical Engineering online*, Vol. 9, No. 15, pp. 1-16, 2012.
- [20] S. M. Vahedi, M. S. Valipour, F. d. Monte, Simulation of heparin distribution in an injured coronary artery, *Modares Mechanical Engineering*, Vol. 16, No. 11, pp. 255-265, 2016 (in Persian)
- [21] S. McGinty, S. McKee, R. M. Wadsworth, C. McCormick, Modelling drug-eluting stents, *Mathematical Medicine and Biology*, Vol. 28, No. 1, pp. 1-29, 2010.
- [22] S. M. Vahedi, M. S. Valipour, Numerical simulation of drug release through arterial wall: The investigation of double coating, *Proceedings of The 24th International conference of Iranian Society of Mechanical Engineers (ISME)*, Yazd, Iran, April 26-28, 2016. (in Persian)
- [23] G. Pontrelli, A. Di Mascio, F. de Monte, Local mass non-equilibrium dynamics in multi-layered porous media application to the drug-eluting stent, *International Journal of Heat and Mass Transfer*, Vol. 66, pp. 844-854, 2013.
- [24] F. Bozsak, J. M. Chomaz, A. I. Barakat, G. Pontrelli, On the Role of Phase Change in Modelling Drug-Eluting Stents, *Biomedical Technology*, Vol. 74, pp. 69-80, Springer International Publishing, 2015.
- [25] G. Pontrelli, F. de Monte, A two-phase two-layer model for transdermal drug delivery and percutaneous absorption, *Mathematical Biosciences*, Vol. 257, pp. 96-103, 2014.
- [26] T. Shazly, V. B. Kolachalam, J. Ferdous, J. P. Oberhauser, S. Hossainy, E. R. Edelman, Assessment of material by-product fate from bioresorbable vascular scaffolds, *Annals of Biomedical Engineering*, Vol. 40, No. 4, pp. 955-965, 2012.
- [27] J. Ferdous, V. B. Kolachalam, T. Shazly, Impact of polymer structure and composition on fully resorbable endovascular scaffold performance, *Acta Biomaterialia*, Vol. 9, No. 4, pp. 6052-6061, 2013.
- [28] B. M. O'Connell, E. M. Cunnane, W. J. Denny, G. T. Carroll, M. T. Walsh, Improving smooth muscle cell exposure to drugs from drug-eluting stents at early time points: a variable compression approach, *Biomechanics and modeling in mechanobiology*, Vol. 13, No. 4, pp. 771-781, 2014.
- [29] S. Chung, K. Vafai, Effect of the fluid-structure interactions on low-density lipoprotein transport within a multi-layered arterial wall, *Journal of*

امری اجتناب‌ناپذیر است.

## 7- فهرست علائم

$\tilde{C}^0$	بیشینه غلظت موجود در پلیمر حاوی هپارین (mg ml <sup>-1</sup> )
Courant <sub>i</sub>	عدد کورانت در لایه $\gamma$ ام
D	ضریب نفوذ هپارین (m <sup>2</sup> s <sup>-1</sup> )
k	ضریب پارتبیشن
$\tilde{L}$	ضخامت لایه (m)
m	جرم موجود در لایه
$\tilde{p}$	فشار (mmHg)
P	تراوایی پوشش فوقانی (ms <sup>-1</sup> )
Pe	عدد پکلت
$\tilde{t}$	زمان (s)
$\tilde{t}_1$	مشخصه تغییر فاز دارو (s)
$\tilde{T}$	زمان یک دوره سیکل قلب (s)
$\tilde{u}$	سرعت فیلتراسیون (m s <sup>-1</sup> )
VV	پارامتر بدون بعد در معادله (27)
$\tilde{x}$	مختصات
علایم یونانی	
$\epsilon$	تخلخل
$\kappa$	تراوایی داروسی (m <sup>2</sup> )
$\lambda$	تراکم‌پذیری هم‌دمای پلاسمای (Pa <sup>-1</sup> )
$\mu$	لرجت پلاسمای (kg m <sup>-1</sup> s <sup>-1</sup> )
$\gamma$	نسبت ضرایب نفوذ
$\phi$	تراوایی بدون بعد
$\beta$	ضریب اضمحلال دارو (s <sup>-1</sup> )
$\sigma$	نسبت تخلخل
$\sigma_f$	ضریب بازتاب فیلتراسیون
$\Gamma$	پارامتر بدون بعد در معادله (26)
بالانویس‌ها	
f	مایع
s	جامد
i	لایه $\gamma$ ام
max	بیشینه مقدار پارامتر مربوطه در بین تمام لایه‌ها

## 8- مراجع

- B. M. O'Connell, T. McGloughlin, M. T. Walsh, Factors that affect mass transport from drug eluting stents into the artery wall, *Biomedical engineering online*, pp. 1-16, 2010.
- B. L. van der Hoeven, N. M. Pires, H. M. Warda, P. V. Oemrawsingh, B. J. van Vlijmen, P. H. Quax, M. J. Schalij, E. E. van der Wall, J. W. Jukema, Drug-eluting stents: Results, promises and problems, *International journal of cardiology*, Vol. 99, No. 1, pp. 9-17, 2005.
- J. R. Weiser, W. M. Saltzman, Controlled release for local delivery of drugs: barriers and models, *Journal of Controlled Release*, Vol. 190, pp. 664-673, 2014.
- R. Mongrain, I. Faik, R. L. Leask, J. Rodés-Cabau, E. Larose, O. F. Bertrand, Effects of diffusion coefficients and struts apposition using numerical simulations for drug eluting coronary stents, *Journal of Biomechanical Engineering*, Vol. 129, No. 5, pp. 733-742, 2007.
- C. W. Hwang, D. Wu, E. R. Edelman, Physiological transport forces govern drug distribution for stent-based delivery, *Circulation*, Vol. 104, No. 5, pp. 600-605, 2001.

- [32] R. A. Siegel, M. J. Rathbone, Overview of controlled release mechanisms, *Fundamentals and Applications of Controlled Release Drug Delivery*, pp. 19-43, New York, Springer, 2012.
- [30] S. Chung, K. Vafai, Low-density lipoprotein transport within a multi-layered arterial wall—Effect of the atherosclerotic plaque/stenosis, *Journal of biomechanics*, Vol. 45, No. 2, pp. 371-381, 2012.
- [30] S. Chung, K. Vafai, Low-density lipoprotein transport within a multi-layered arterial wall—Effect of the atherosclerotic plaque/stenosis, *Journal of biomechanics*, Vol. 46, No. 3, pp. 574-585, 2013.
- [31] F. Bozsak, J.-M. Chomaz, A. I. Barakat, Modeling the transport of drugs eluted from stents: Physical phenomena driving drug distribution in the arterial wall, *Biomechanics and modeling in mechanobiology*, Vol. 13, No. 2, pp. 327-347, 2014.